

# Sinais e Sistemas

Transformada de *Fourier* – 1ª parte



# Introdução

- Vamos agora estudar como uma função não-periódica pode ser expressa através de uma soma contínua de funções exponenciais com frequências no intervalo  $-\infty$  a  $+\infty$
- O conceito de espectro contínuo irá agora ser introduzido
  - Até agora foram apenas estudados espectros de frequências discretos e com amplitudes finitas, como acontece com a série de *Fourier*



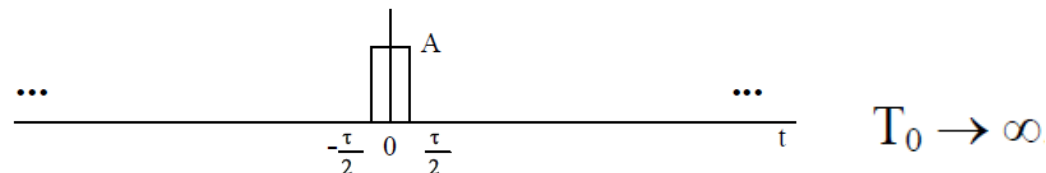
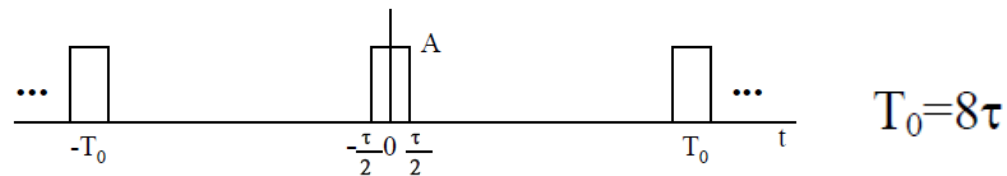
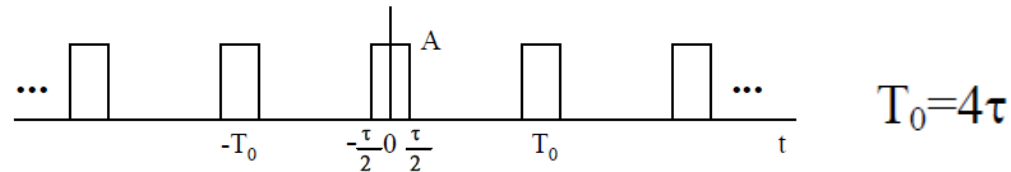
# Introdução

- Será agora estudada, a transformada de *Fourier* que constitui uma ferramenta que permite decompor um determinado sinal nas suas componentes exponenciais
- A transformada de *Fourier*  $X(f)$  fornece a informação da contribuição de cada componente de frequência, em módulo e fase, para o sinal  $x(t)$
- Na série de *Fourier* também havia esta contribuição, mas para frequências discretas. No caso da transformada, esta contribuição ocorre num *espectro contínuo de frequência*



# Introdução

- As figuras abaixo mostram vários exemplos de ondas rectangulares periódicas com largura  $\tau$  e período  $T_0$ , em que a largura  $\tau$  é fixa:



# Introdução

- Na sua representação pela série de *Fourier*, conforme estudado anteriormente, os coeficientes são dados por:

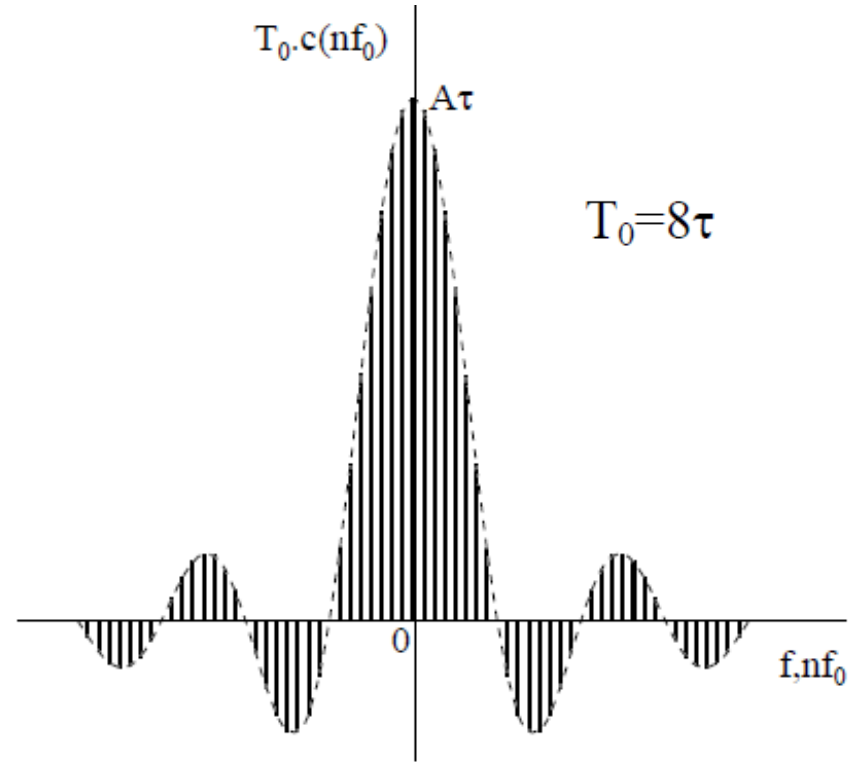
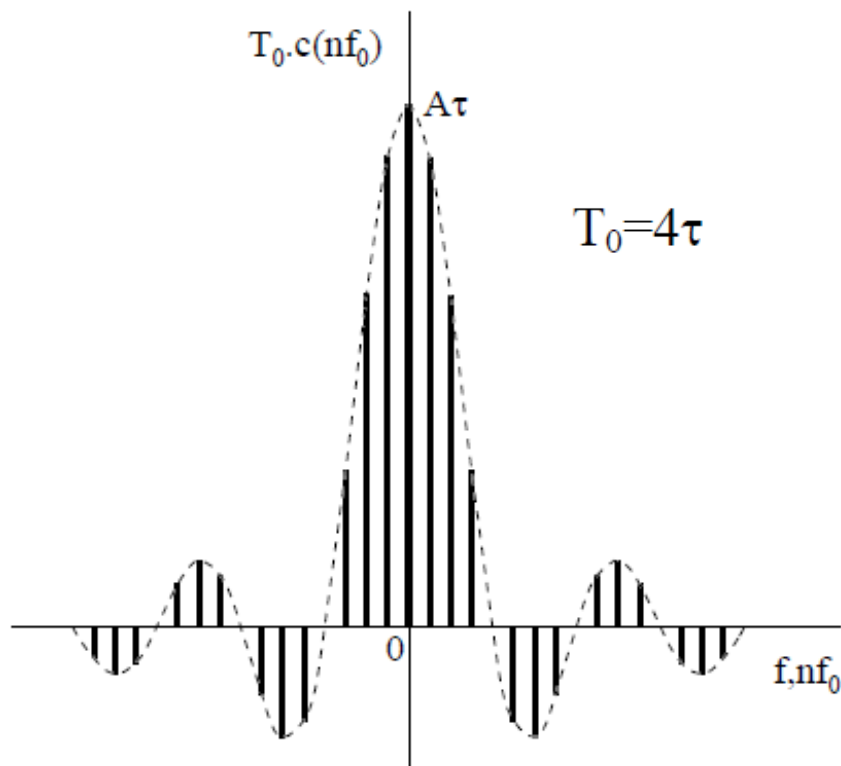
$$C_n = c(nf_0) = Af_0\tau \frac{\sin(n\pi f_0\tau)}{n\pi f_0\tau}, \quad f_0 = \frac{1}{T_0}$$

- multiplicando-se membro a membro por  $T_0$ , obtém-se:

$$T_0 C_n = A\tau \frac{\sin(n\pi f_0\tau)}{n\pi f_0\tau} = A\tau \left. \frac{\sin(\pi f\tau)}{\pi f\tau} \right|_{f=nf_0} = A\tau \operatorname{sinc}(f_0\tau)$$

# Introdução

- Da expressão anterior obtém-se os gráficos:



# Introdução

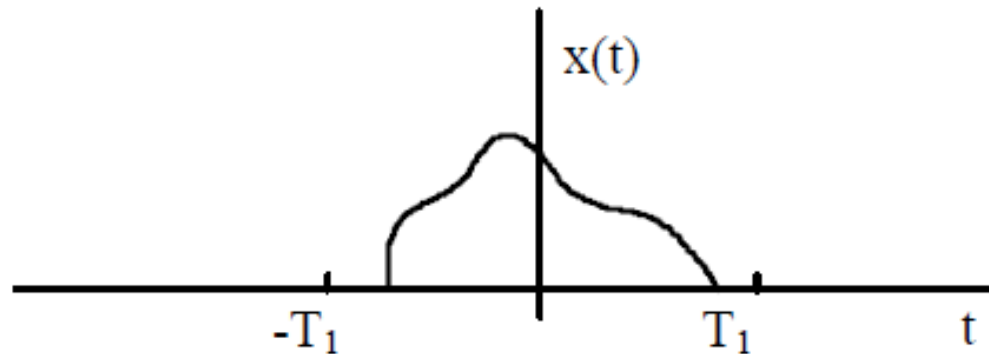
- Por inspeção das figuras, nota-se que:
  - Considerando-se  $f$  uma variável contínua, a função:

$$A\tau \frac{\sin(\pi f\tau)}{\pi f\tau}$$

- é a envolvente do sinal, e os coeficientes  $T_0 C_n$  são amostras desta envolvente
  - Para  $\tau$  fixo, a envolvente é independente de  $T_0$ ;
  - À medida que se aumenta  $T_0$ , as amostras ficam mais próximas, e os coeficientes da série aproximam-se da envolvente

# Transformada de *Fourier*

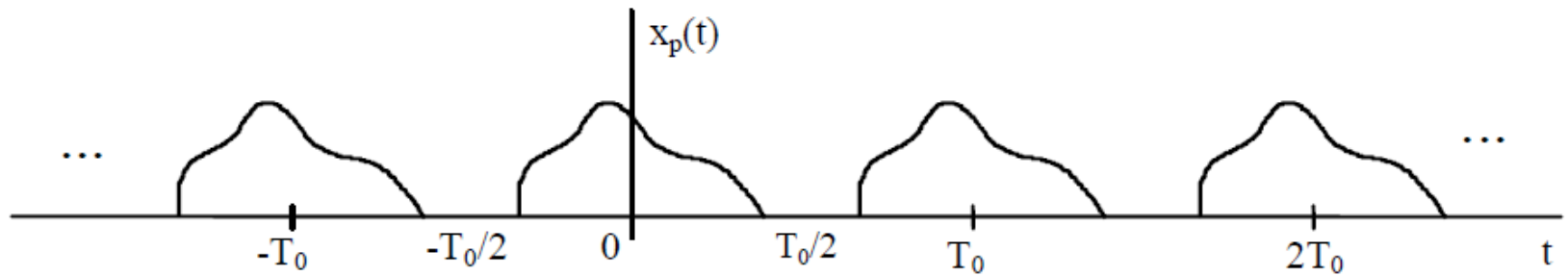
- Considere-se agora um sinal aperiódico  $x(t)$  de duração finita, ilustrado na figura abaixo:
- $x(t) = 0$  , para  $|t| > T_1$



- A partir deste sinal, construímos um sinal periódico  $x_p(t)$  com período  $T_0$ , mostrado a seguir



# Transformada de *Fourier*



- dentro de um período  $-T_0/2 \leq t \leq +T_0/2$  ocorre  $x_p(t) = x(t)$ , ou seja,  $x_p(t)$  é composto de cópias de  $x(t)$  a cada  $T_0$
- Nota-se ainda que:  $\lim_{T_0 \rightarrow \infty} x_p(t) = x(t)$ ,  $\forall t$  finito

# Transformada de *Fourier*

- Representando-se o sinal periódico  $x_p(t)$  pela sua série de *Fourier*, tem-se:

$$x_p(t) = \sum_{n=-\infty}^{\infty} C_n e^{jn2\pi f_0 t}$$

$$C_n = \frac{1}{T_0} \int_{-T_0/2}^{T_0/2} x_p(t) e^{-jn2\pi f_0 t} dt$$

- Como  $x_p(t) = x(t)$  para  $|t| < T_0/2$  e  $x(t) = 0$  para  $|t| > T_0/2$ , quando  $T_0/2 > T_1$ , pode-se substituir  $x_p(t)$  por  $x(t)$  no integral e modificar os limites de integração



# Transformada de *Fourier*

- Assim fica:

$$C_n = \frac{1}{T_0} \int_{-T_0/2}^{T_0/2} x(t) e^{-jn2\pi f_0 t} dt = \frac{1}{T_0} \int_{-\infty}^{\infty} x(t) e^{-jn2\pi f_0 t} dt$$

- e, a partir da expressão anterior, obtém-se:

$$T_0 C_n = \int_{-\infty}^{\infty} x(t) e^{-jn2\pi f_0 t} dt$$

- Como se viu no exemplo da onda retangular, podemos considerar  $T_0 C_n$  como amostras de uma envolvente

# Transformada de *Fourier*

- Chamando  $X(f)$  a essa envolvente, então:

$$X(f) = \int_{-\infty}^{\infty} x(t) e^{-j2\pi f t} dt$$

- em que os coeficientes  $C_n$  tornam-se:

$$C_n = \frac{1}{T_0} X(nf_0)$$

- e:

$$x_p(t) = \sum_{n=-\infty}^{\infty} C_n e^{jn2\pi f_0 t} = \frac{1}{T_0} \sum_{n=-\infty}^{\infty} X(nf_0) e^{jn2\pi f_0 t}$$



# Transformada de *Fourier*

- Como  $f_0 = 1/T_0$  fica:

$$x_p(t) = \sum_{n=-\infty}^{\infty} X(nf_0) e^{jn2\pi f_0 t} f_0$$

- Fazendo o limite de  $T_0$  tender para infinito, tem-se que:
  - $x_p(t)$  tende para  $x(t)$
  - $f_0$  tende para  $df$
  - $nf_0$  tende para  $f$
  - o somatório tende para um integral



# Transformada de *Fourier*

- Logo:

$$x(t) = \int_{-\infty}^{\infty} X(f) e^{j2\pi ft} df \quad (1)$$

- onde:

$$X(f) = \int_{-\infty}^{\infty} x(t) e^{-j2\pi ft} dt \quad (2)$$

- A equação (2) é a equação de análise da transformada de *Fourier*, ou simplesmente a transformada de *Fourier* do sinal  $x(t)$
- A equação (1) é a equação de síntese da transformada de *Fourier*, ou a transformada de *Fourier* inversa



# Transformada de *Fourier*

- Este par de equações é normalmente representado simbolicamente por:

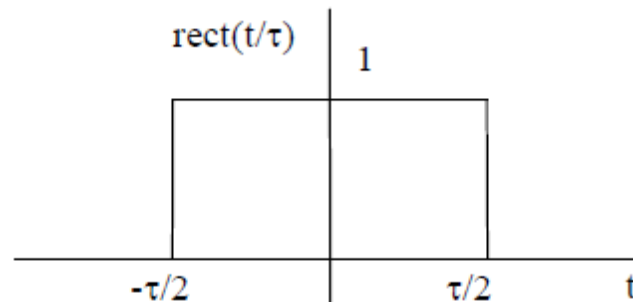
$$x(t) \leftrightarrow X(f)$$

- Em certas ocasiões, também será útil aplicar a notação simbólica do operador:
- $\mathcal{F}[x(t)]$  - para a transformada de *Fourier* direta:
  - $\mathcal{F}[x(t)] = X(f)$
- $\mathcal{F}^{-1}[X(f)]$  - para a transformada de *Fourier* inversa
  - $\mathcal{F}^{-1}[X(f)] = x(t)$

# Transformada de *Fourier*

- Exemplo - 1: Impulso rectangular de duração  $\tau$

$$x(t) = \text{rect}\left(\frac{t}{\tau}\right) = \Pi\left(\frac{t}{\tau}\right) = \begin{cases} 1, & |t| \leq \tau/2 \\ 0, & |t| > \tau/2 \end{cases}$$



$$X(f) = \int_{-\infty}^{\infty} x(t) e^{-j2\pi f t} dt = \int_{-\tau/2}^{\tau/2} e^{-j2\pi f t} dt = \frac{e^{-j2\pi f \frac{\tau}{2}} - e^{j2\pi f \frac{\tau}{2}}}{-j2\pi f} = \frac{-j2\sin(\pi f \tau)}{-j2\pi f}$$

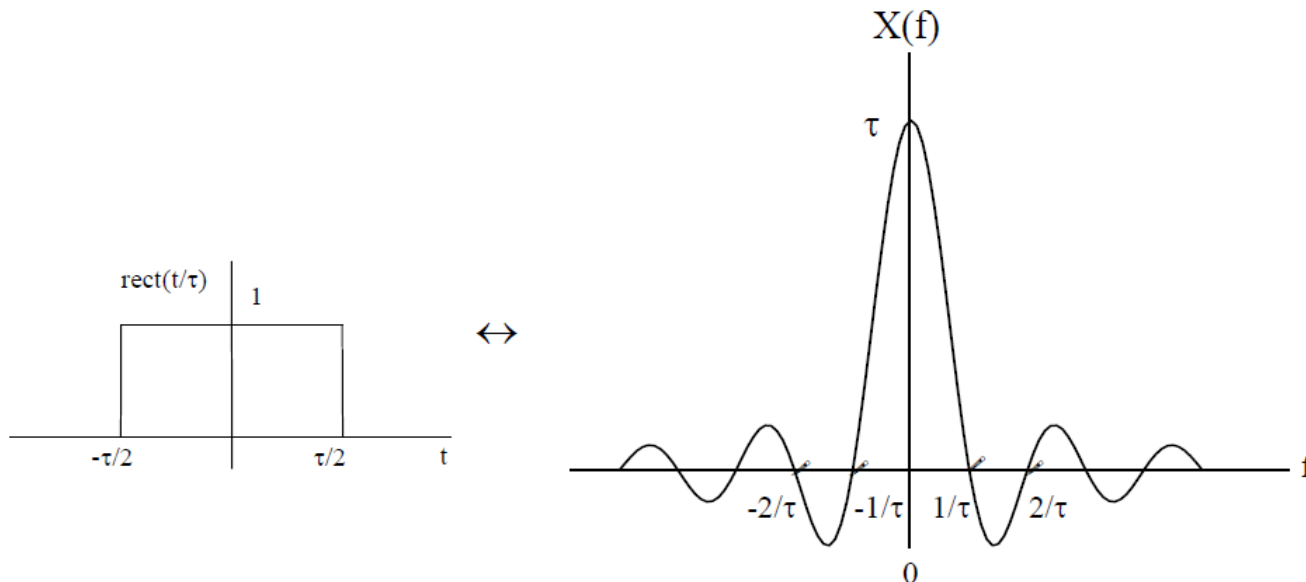
$$X(f) = \frac{\sin(\pi f \tau)}{\pi f} = \tau \frac{\sin(\pi f \tau)}{\pi f \tau} = \tau \text{sinc}(f\tau)$$



# Transformada de *Fourier*

- Exemplo - 1: Impulso rectangular de duração  $\tau$
- Obtém-se assim o par de transformada de *Fourier*:

$$\text{rect}(t/\tau) \leftrightarrow \tau \cdot \text{sinc}(f\tau)$$



# Transformada de *Fourier*

- Exemplo - 1: Impulso rectangular de duração  $\tau$
- Analisando-se a figura, observa-se que o primeiro zero ocorre para  $f = 1/\tau$ . Assim, para o impulso estreito ( $\tau$  reduzido), o primeiro zero ocorre para um valor de  $f$  elevado, ou seja, o espectro torna-se mais largo
- Para o impulso de longa duração, o primeiro zero ocorre para  $f$  reduzido, indicando que o espectro torna-se mais estreito

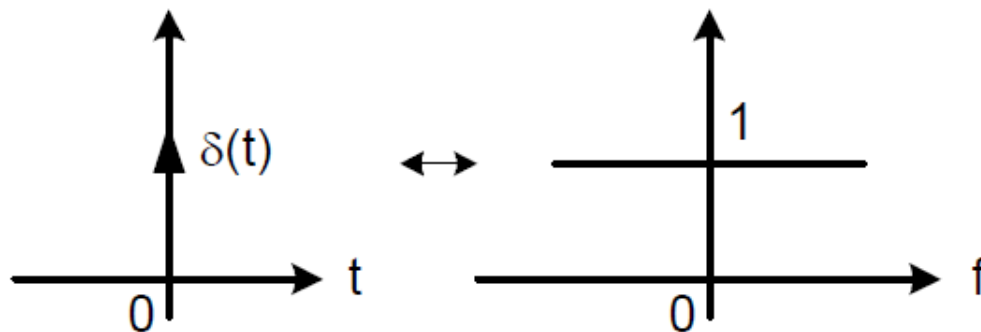
# Transformada de *Fourier*

- Exemplo - 1: Impulso rectangular de duração  $\tau$
- A observação anterior corresponde à propriedade de espalhamento recíproco
- Num caso limite, quando o impulso é infinitamente estreito, espera-se um espectro infinitamente largo com tendência para a função constante  $X(f)=\tau$ , conforme será verificado no próximo exemplo

# Transformada de *Fourier*

- Exemplo - 2: Impulso de área unitária -  $\delta(t)$  - *Dirac*

$$X(f) = \int_{-\infty}^{\infty} x(t) e^{-j2\pi ft} dt = \int_{-\infty}^{\infty} \delta(t) e^{-j2\pi ft} dt = 1, \forall f$$



$$\delta(t) \leftrightarrow 1$$

# Transformada de *Fourier*

- Exemplo - 2: Impulso de área unitária -  $\delta(t)$  – *Dirac*
- A transformada de *Fourier* de um impulso unitário é constante, com amplitude igual à área do impulso
- Este comportamento já era previsto - propriedade de espalhamento recíproco do exemplo anterior
- A interpretação deste resultado, permite concluir que um impulso unitário apresenta um conteúdo espectral com amplitude constante, presente em todas as frequências entre  $-\infty$  e  $+\infty$

# Convergência da TF

- Na dedução da transformada de *Fourier* como um processo limite a partir da série de *Fourier*, limitamo-nos ao caso em que o sinal  $x(t)$  tinha duração finita
- Porém, afirma-se que o resultado permanece válido para uma classe muito maior de sinais, incluindo-se alguns de duração infinita
- Além disso, como o ponto de partida foi a série de *Fourier*, é razoável considerar as mesmas condições para a existência da transformada de *Fourier*



# Convergência da TF

- Condições para a existência da transformada de *Fourier*:
- a)  $x(t)$  deve ser integrável quadraticamente, ou seja, ter energia finita:

$$\int_{-\infty}^{\infty} |x(t)|^2 dt < \infty$$

- b)  $x(t)$  deve satisfazer às condições de *Dirichlet*:
  - i) deve ser absolutamente integrável:  $\int_{-\infty}^{\infty} |x(t)| dt < \infty$
  - ii) deve ter um número finito de máximos e mínimos em qualquer intervalo de tempo finito
  - iii) deve ter um número finito de descontinuidades finitas em qualquer intervalo de tempo finito

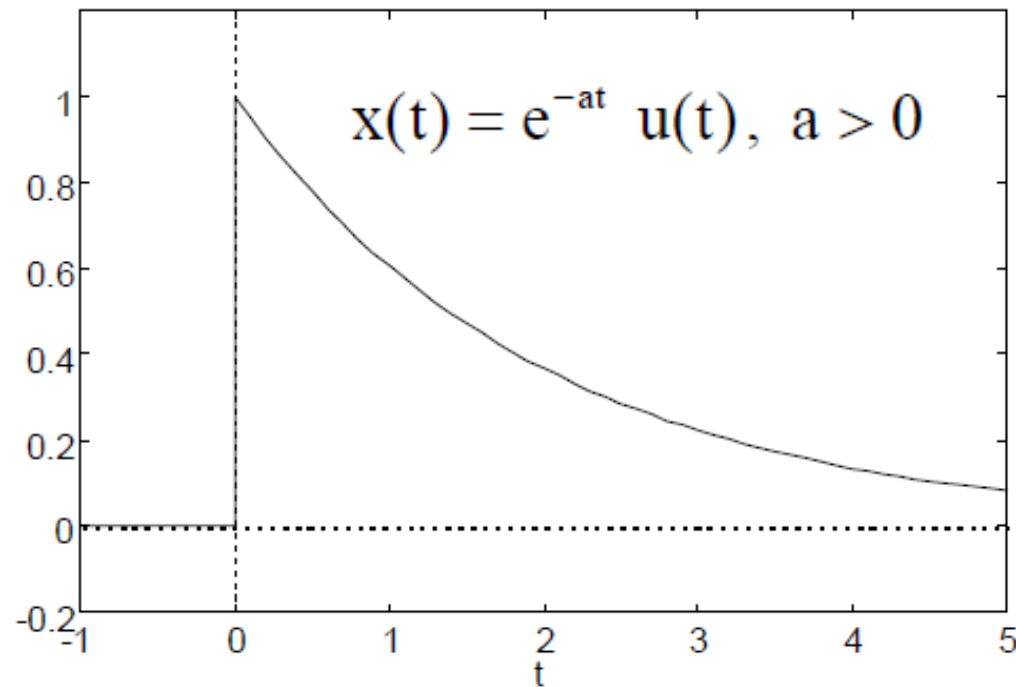
# Convergência da TF

- É importante salientar que tais condições são suficientes, mas não necessárias para a existência da transformada de *Fourier*.
- A função impulso de *Dirac* não satisfaz as condições de *Dirichlet* pois representa uma descontinuidade infinita. Contudo esta função possui transformada de *Fourier*
- Ao contrário da matemática, os critérios físicos são mais abrangentes, os quais estabelecem que, a condição necessária e suficiente para que um dado sinal possua transformada de *Fourier*, é que o processo físico associado ocorra consistentemente na prática



# Transformada de *Fourier*

- Exemplo - 3: Calcular a transformada de *Fourier* da função exponencial real mostrada na figura em baixo e esboçar o seu espectro



# Transformada de *Fourier*

- Solução: Esta função, assintoticamente limitada no tempo, satisfaz todos os critérios de convergência para que sua transformada de *Fourier* exista.
- Aplicando a definição:

$$X(f) = \int_{-\infty}^{\infty} x(t)e^{-j2\pi ft} dt = \int_0^{\infty} e^{-at} e^{-j2\pi ft} dt = \int_0^{\infty} e^{-(j2\pi f + a)t} dt = \left[ \frac{e^{-at} e^{-j2\pi ft}}{-(j2\pi f + a)} \right]_0^{\infty} = \frac{0 - 1}{-(j2\pi f + a)}$$

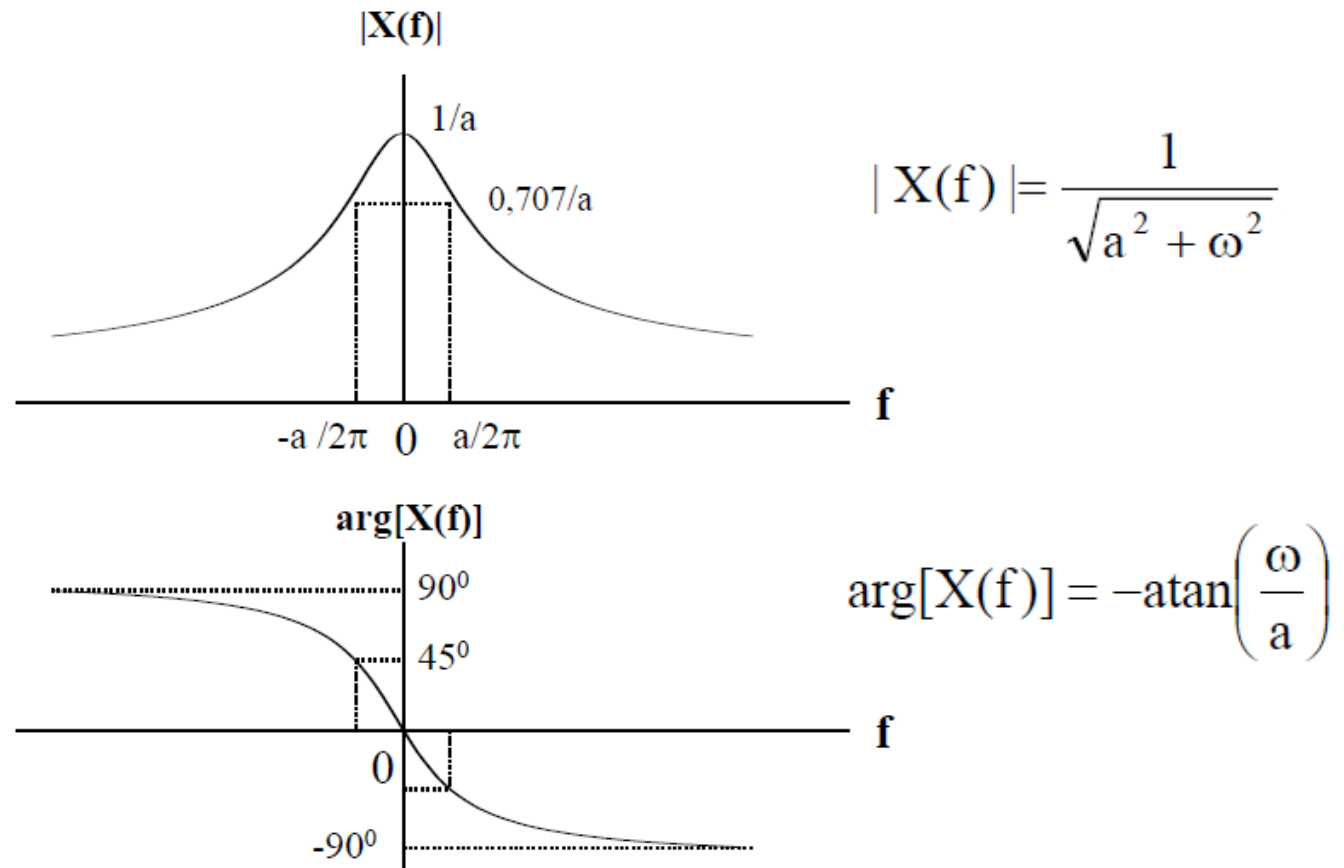
$$X(f) = \frac{1}{a + j2\pi f} = \frac{1}{a + j\omega}$$

$$|X(f)| = \frac{1}{\sqrt{a^2 + \omega^2}} \quad \arg[X(f)] = -\operatorname{atan}\left(\frac{\omega}{a}\right)$$



# Transformada de *Fourier*

- Solução: Exemplo - 3



# TF – Relações de Simetria

- Partindo da definição:

$$X(f) = \int_{-\infty}^{\infty} x(t) e^{-j2\pi ft} dt$$

- Se  $x(t)$  for um sinal real, pode-se mostrar que:
  - $X(-f) = X^*(f)$
- ou, de forma equivalente:
  - $X^*(-f) = X(f)$
- A transformada de *Fourier* (ou seja, o espectro) exhibe simetria *Hermitiana*



# TF – Relações de Simetria

- Se  $X(f)$  for expresso em termos das suas partes real e imaginária, obtém-se:
  - $X(f) = \text{Re}\{X(f)\} + j\text{Im}\{X(f)\}$
- Então:
  - $X^*(-f) = \text{Re}\{X(-f)\} - j\text{Im}\{X(-f)\}$
- Ou seja:
  - $\text{Re}\{X(f)\} = \text{Re}\{X(-f)\}$  – Função Par
  - $\text{Im}\{X(f)\} = -\text{Im}\{X(-f)\}$  – Função Ímpar

# TF – Relações de Simetria

- Se  $X(f)$  for expresso em termos das suas partes real e imaginária, obtém-se:
  - $X(f) = \text{Re}\{X(f)\} + j\text{Im}\{X(f)\}$
- Então:
  - $X^*(-f) = \text{Re}\{X(-f)\} - j\text{Im}\{X(-f)\}$
- Ou seja:
  - $\text{Re}\{X(f)\} = \text{Re}\{X(-f)\}$  – Função Par
  - $\text{Im}\{X(f)\} = -\text{Im}\{X(-f)\}$  – Função Ímpar

# TF – Relações de Simetria

- Observa-se também que:

$$|X(f)| = \left( \text{Re}\{X(f)\}^2 + \text{Im}\{X(f)\}^2 \right)^{1/2} = |X(-f)|$$

$$\arg[X(f)] = \text{atan} \frac{\text{Im}\{X(f)\}}{\text{Re}\{X(f)\}} = -\arg[X(-f)]$$

- Como:

$$X^*(-f) = |X(-f)| e^{-j\arg[X(-f)]}$$

- conclui-se que o espectro de amplitudes (módulo) é uma função par e o espectro de fases é uma função ímpar



# TF – Relações de Simetria

- Considera-se agora um sinal  $x(t)$  arbitrário - pode ser complexo
- Sabemos que este sinal pode ser expresso como soma de uma função par ( $x_e$ ) e de uma função ímpar ( $x_o$ ) de  $t$ :

$$x(t) = x_e(t) + x_o(t)$$

$$x_e(t) = \frac{x(t) + x^*(-t)}{2}$$

$$x_o(t) = \frac{x(t) - x^*(-t)}{2}$$



# TF – Relações de Simetria

- Assim, têm-se as seguintes relações:

$$x_e(t) \leftrightarrow X_e(f) = \text{Re}\{X(f)\}$$

$$x_o(t) \leftrightarrow X_o(f) = j\text{Im}\{X(f)\}$$

- Para sinais  $x(t)$  reais:

$$X(f) = \int_{-\infty}^{\infty} x(t) \cdot \cos(2\pi ft) dt + j \int_{-\infty}^{\infty} x(t) \cdot \text{sen}(2\pi ft) dt = \text{Re}\{X(f)\} + j \text{Im}\{X(f)\}$$

$$x_e(t) \leftrightarrow X_e(f) = \int_{-\infty}^{\infty} x(t) \cdot \cos(2\pi ft) dt$$

$$x_o(t) \leftrightarrow X_o(f) = j \int_{-\infty}^{\infty} x(t) \cdot \text{sen}(2\pi ft) dt$$

# TF – Relações de Simetria

- No caso onde  $x(t)$  tem simetria par, tal que  $x(-t) = x(t)$ :
  - $x(t) \cdot \cos(2\pi ft)$  é par
  - $x(t) \cdot \sin(2\pi ft)$  é ímpar
  - $X_o(f) = 0$
  - $X(f) = X_e(f) = 2 \int_0^{\infty} x(t) \cdot \cos(2\pi ft) dt$
- Conclui-se que, se  $x(t)$  for par e puramente real, o seu espectro  $X(f)$  também será puramente real

# TF – Relações de Simetria

- Se  $x(t)$  tem simetria ímpar, tal que  $x(-t) = -x(t)$ , então:

$$-X_e(f) = 0$$

- e:

$$X(f) = X_o(f) = -j2 \int_0^{\infty} x(t) \cdot \text{sen}(2\pi ft) dt$$

- Se  $x(t)$  for ímpar e puramente real, o seu espectro  $X(f)$  será puramente imaginário
- Em casos onde  $x(t)$  não for nem par nem ímpar, o espectro  $X(f)$  terá partes real e imaginária, conforme o resultado obtido no Exemplo 3

# TF – Teorema de *Parseval*

- O teorema de *Parseval* estabelece que, se  $x_1(t)$  e  $x_2(t)$  são sinais de energia arbitrários, com transformadas de *Fourier*  $X_1(f)$  e  $X_2(f)$ , respectivamente, então:

$$\int_{-\infty}^{\infty} x_1(t) \cdot x_2^*(t) dt = \int_{-\infty}^{\infty} X_1(f) \cdot X_2^*(f) df$$

- No caso particular, onde  $x_1(t) = x_2(t) = x(t)$ , então:

$$\int_{-\infty}^{\infty} |x(t)|^2 dt = E_x = \int_{-\infty}^{\infty} |X(f)|^2 df$$

- onde  $E_x$  é a energia de  $x(t)$



# TF – Teorema de *Parseval*

- Sendo  $x(t)$  um sinal de energia, sua energia pode ser obtida através da integração de  $|x(t)|^2$ , no domínio do tempo, ou de  $|X(f)|^2$ , no domínio da frequência, conforme seja mais conveniente
- A função  $|X(f)|^2$  é chamada de densidade espectral de energia de  $x(t)$ , e fornece a informação da energia por unidade de frequência ao longo do espectro de  $X(f)$



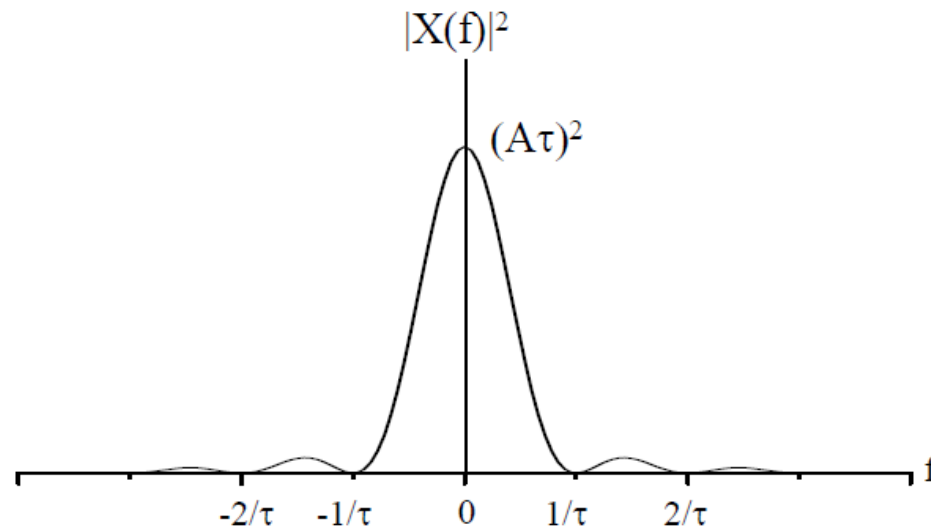
# TF – Teorema de *Parseval*

- Exemplo - 4: Obter a densidade espectral de energia do pulso retangular de largura  $\tau$  e amplitude  $A$ :  $x(t) = A.\text{rect}(t/\tau)$
- Solução: Utilizando o resultado do exemplo 1, verifica-se que o espectro desse impulso retangular é dado por  $X(f) = A\tau.\text{sinc}(f\tau)$



# TF – Teorema de *Parseval*

- Solução: A figura seguinte revela que a maior parte da energia do pulso encontra-se dentro da banda  $|f| < 1/\tau$



Densidade espectral de energia do pulso retangular

# TF – Largura de Banda Espectral

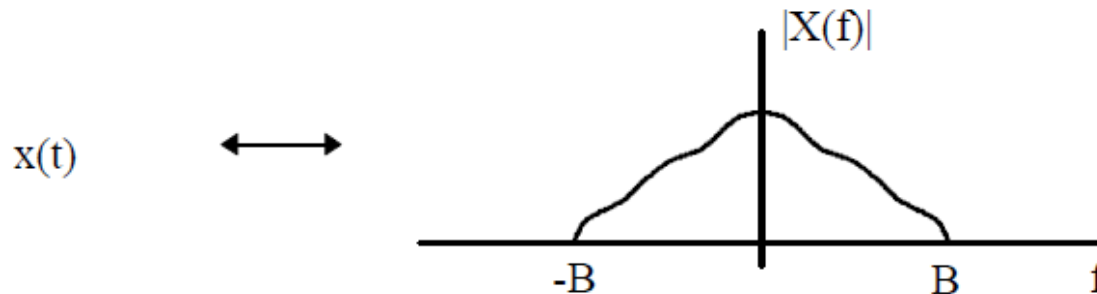
- O conceito de largura de banda de sinais é muito importante quando se trabalha com sinais e sistemas de comunicação
- Por exemplo, um sinal radiado por uma antena para ser transmitido deve ter largura de banda limitada, pois caso contrário, estaria ocupando uma porção muito grande do espectro eletromagnético, impedindo a utilização desse meio de transmissão por outros sinais
- A largura de banda de um sinal é obtida através da análise do sinal no domínio da frequência





# TF – Largura de Banda Espectral

- Um sinal com característica passa-baixo, exibe uma característica espectral genérica mostrada na figura:



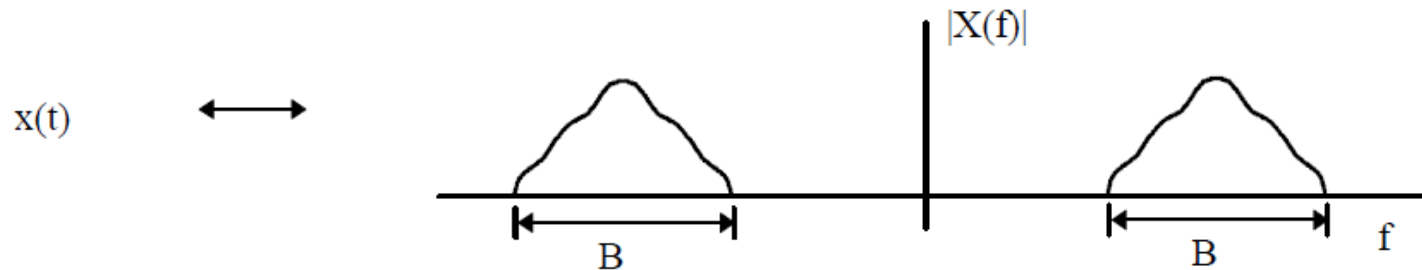
- Neste caso, diz-se que  $x(t)$  é um sinal com banda limitada a  $B$  Hz, ou um sinal passa-baixo com largura de banda  $B$ , o que significa que  $x(t)$  não possui componentes de frequência acima de  $B$  Hz

# TF – Largura de Banda Espectral

- É de realçar que, embora se trabalhe com a representação de espectro bilateral, para a determinação da largura de banda considera-se somente a porção positiva do espectro, em conformidade com as leituras fornecidas por analisadores de espectro

# TF – Largura de Banda Espectral

- Um sinal com característica passa-banda com banda  $B$ , exibe uma característica espectral genérica mostrada na figura:



- Na prática, contudo, os sinais podem não apresentar banda limitada (e geralmente é o caso), e o que se pode fazer é definir a banda do sinal a partir de frequências nas quais a amplitude do espectro decai a um determinado valor da amplitude máxima

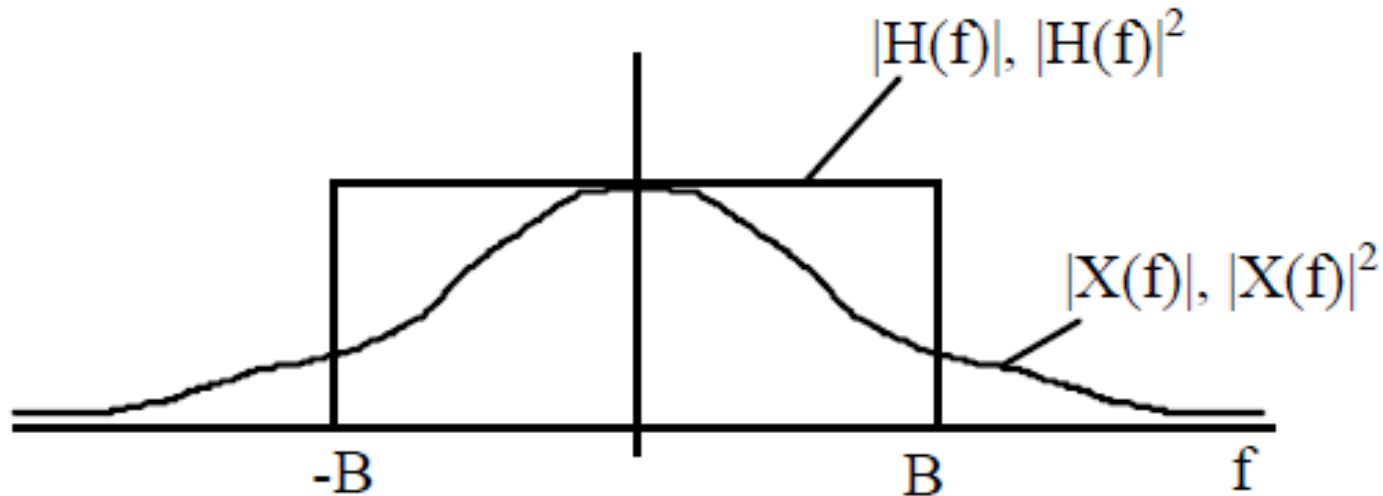
# TF – Largura de Banda Espectral

- Por exemplo, pode-se definir que a largura de banda de um sinal passa-baixo seja dada pelas frequências onde o espectro de amplitudes decaia a 5% do seu valor máximo
- Um outro critério que pode ser adotado é definir a largura de banda, de um sinal com característica passa-baixo, por exemplo, como sendo aquela de um filtro passa-baixo ideal (banda  $B$ ) com mesmo ganho máximo, tal que a área sob  $|H(f)|$  ou  $|H(f)|^2$  seja igual à área sob  $|X(f)|$  ou  $|X(f)|^2$



# TF – Largura de Banda Espectral

- Este critério é muito usado na análise do ruído



Critério para definição de largura de banda

# Relação entre a TF de tempo contínuo e sinais periódicos

- Na dedução da transformada de *Fourier* a partir da série de *Fourier*, aproximou-se o sinal aperiódico  $x(t)$  por um período de um sinal periódico  $x_p(t)$ , de período  $T_0$ :

$$x(t) = \begin{cases} x_p(t) & , |t| \leq T_0 / 2 \\ 0 & , \dots \end{cases}$$

- Os coeficientes da série de *Fourier* podem ser determinados a partir da transformada de *Fourier* através de:

$$C_n = \frac{1}{T_0} \int_{-T_0/2}^{T_0/2} x_p(t) e^{-jn2\pi f_0 t} dt = \frac{1}{T_0} \int_{-\infty}^{\infty} x(t) e^{-jn2\pi f_0 t} dt$$

# Relação entre a TF de tempo contínuo e sinais periódicos

- Recorrendo-se à equação de análise, com  $f = nf_0$  fica:

$$C_n = \frac{1}{T_0} X(nf_0)$$

- os coeficientes  $C_n$  são obtidos a partir de amostras da transformada de *Fourier* nas frequências  $nf_0$
- Uma discussão sobre amostragem de sinais será apresentada numa das próximas aulas



# Transformada de *Fourier* de Sinais Periódicos

- Considere um sinal cuja transformada de *Fourier* é um impulso de área unitária (*Dirac*) em  $f = f_0$ :

$$X(f) = \delta(f - f_0)$$

- a partir da equação de síntese obtém-se o sinal no domínio dos tempos  $x(t)$ :

$$x(t) = \int_{-\infty}^{\infty} \delta(f - f_0) e^{j2\pi f t} df = e^{j2\pi f_0 t} = \cos \omega_0 t + j \sin \omega_0 t$$

- $x(t)$  é um sinal periódico com período  $T_0 = 1/f_0$





# Transformada de *Fourier* de Sinais Periódicos

- O resultado anterior permite estabelecer mais um par de transformada de *Fourier*:

$$e^{j2\pi f_0 t} \leftrightarrow \delta(f - f_0)$$

- Generalizando, para uma combinação de impulsos de áreas  $C_n$ , localizados em  $f = nf_0$ :

$$X(f) = \sum_{n=-\infty}^{\infty} C_n \delta(f - nf_0)$$

- obtém-se:

$$x(t) = \sum_{n=-\infty}^{\infty} C_n e^{j2\pi n f_0 t}$$



# Transformada de *Fourier* de Sinais Periódicos

- O resultado anterior permite novamente estabelecer mais um par de transformada de *Fourier*:

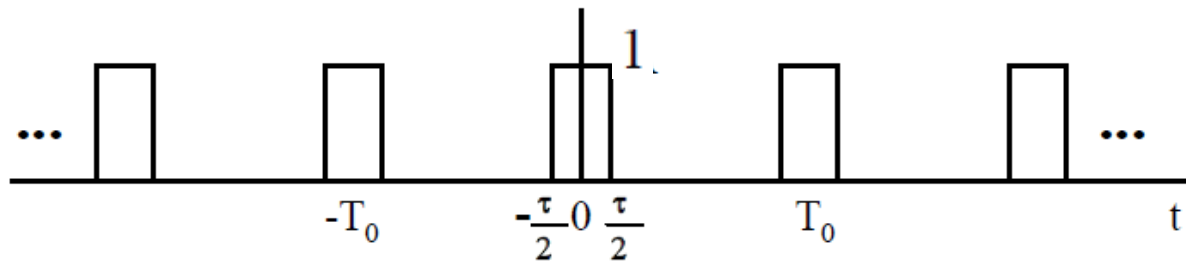
$$\sum_{n=-\infty}^{\infty} C_n e^{j2\pi n f_0 t} \leftrightarrow \sum_{n=-\infty}^{\infty} C_n \delta(f - n f_0)$$

- O termo do lado esquerdo representa o sinal periódico  $x(t)$  no seu desenvolvimento em série de *Fourier*
- A transformada de *Fourier* de um sinal periódico, cujos coeficientes da série de *Fourier* são iguais a  $C_n$ , é igual a um trem de impulsos de áreas  $C_n$  localizados nas frequências  $n f_0$

# Transformada de *Fourier* de Sinais Periódicos

- Exemplo - 5: Considere uma onda quadrada de frequência  $f_0$ , cujos coeficientes  $C_n$  da série de *Fourier* são dados por:

$$C_n = \frac{\sin(n\pi f_0 \tau)}{n\pi}, \quad f_0 \tau = \frac{1}{2}$$

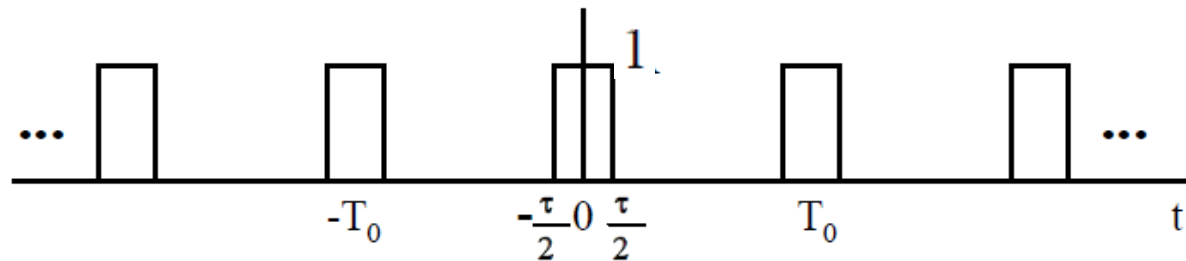


- Determinar a transformada de *Fourier* da sua série de *Fourier*

# Transformada de *Fourier* de Sinais Periódicos

- Exemplo - 5: Considere uma onda quadrada de frequência  $f_0$ , cujos coeficientes  $C_n$  da série de *Fourier* são dados por:

$$C_n = \frac{\sin(n\pi f_0 \tau)}{n\pi}, \quad f_0 \tau = \frac{1}{2}$$



- Determinar a transformada de *Fourier* da sua série de *Fourier*

# Transformada de *Fourier* de Sinais Periódicos

- Solução: Os coeficientes da série de *Fourier* podem ser reescritos como:

$$C_n = \frac{\sin \pi n / 2}{n\pi} = \frac{1}{2} \text{sinc}(n/2)$$

- e portanto, basta aplicar:

$$\sum_{n=-\infty}^{\infty} C_n e^{j2\pi n f_0 t} \leftrightarrow \sum_{n=-\infty}^{\infty} C_n \delta(f - n f_0)$$

- para obter a transformada de *Fourier*:

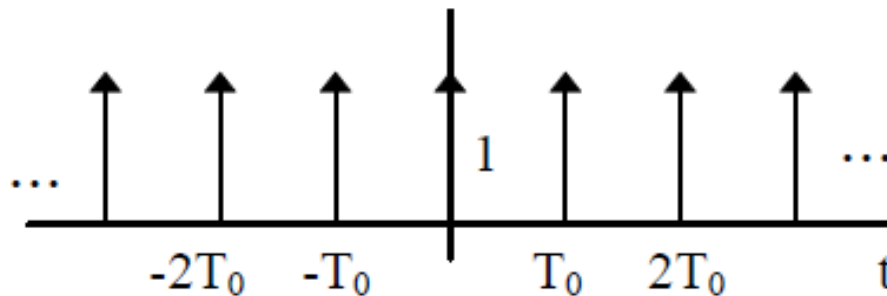
$$X(f) = \frac{1}{2} \sum_{n=-\infty}^{\infty} \text{sinc}(n/2) \delta(f - n f_0)$$



# Transformada de *Fourier* de Sinais Periódicos

- Exemplo - 6: Obter a transformada de *Fourier* do trem de impulsos com período  $T_0$  cuja série de *Fourier* é dada por:

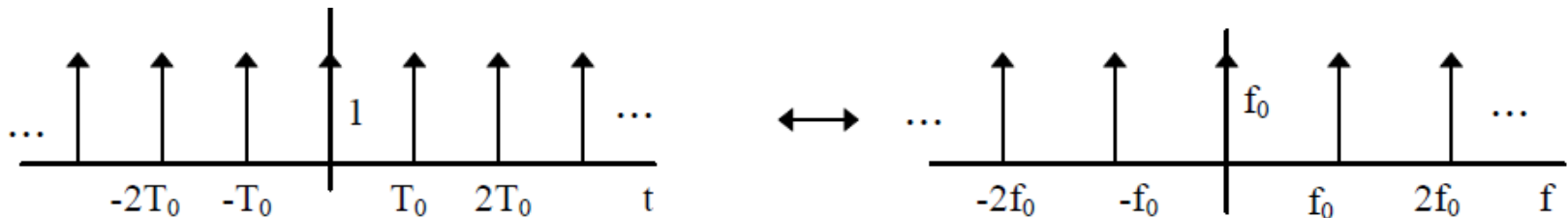
$$x(t) = \sum_n \delta(t - nT_0) = \frac{1}{T_0} \sum_n e^{j2\pi n f_0 t}$$



# Transformada de *Fourier* de Sinais Periódicos

- Solução: Aplicando a relação anterior, com  $C_n = 1$ , e sabendo-se que  $T_0 = 1/f_0$ , obtém-se:

$$X(f) = \frac{1}{T_0} \sum_k \delta(f - kf_0) = f_0 \sum_k \delta(f - kf_0)$$



- A transformada de *Fourier* de um trem de impulsos de áreas unitárias espaçados de  $T_0$  é igual a outro trem de impulsos, com áreas  $f_0 = 1/T_0$  e espaçados de  $f_0$

# Transformada de *Fourier* de co-seno

- Considere-se um sinal sinusoidal, definido por:
  - $x(t) = A.\cos \omega_0 t$
- Recorrendo-se ao desenvolvimento em termos de exponenciais complexas fica:

$$X(f) = \mathfrak{F}[A.\cos \omega_0 t] = \mathfrak{F}\left[A.\frac{e^{j\omega_0 t} + e^{-j\omega_0 t}}{2}\right] = \mathfrak{F}\left[A.\frac{e^{j\omega_0 t}}{2}\right] + \mathfrak{F}\left[A.\frac{e^{-j\omega_0 t}}{2}\right]$$

- aplicando-se as 2 propriedades anteriores, obtém-se:

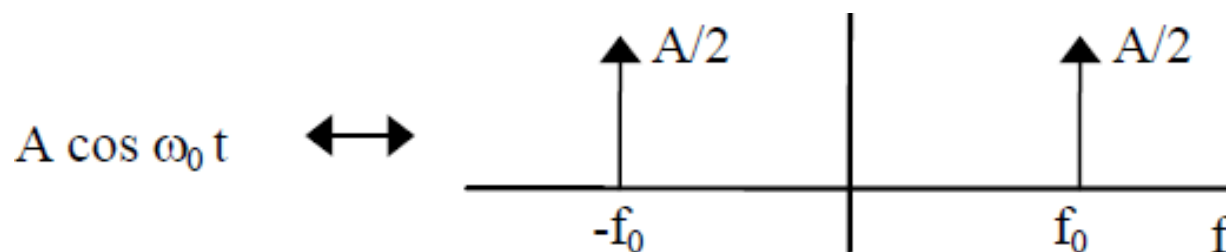
$$X(f) = \frac{A}{2}[\delta(f - f_0) + \delta(f + f_0)]$$





# Transformada de *Fourier* de co-seno

- O diagrama espectral está desenhado em baixo:



- Este resultado era previsível, pois o espectro de um co-seno de frequência  $f_0$  é composto por uma única linha em  $f_0$ , a qual deve ser substituída por um impulso no diagrama espectral de frequências contínuas

# Transformada de *Fourier* de seno

- Para o caso da função seno temos:
  - $x(t) = A.\text{sen } \omega_0 t$
- Recorrendo-se ao desenvolvimento em termos de exponenciais complexas fica:

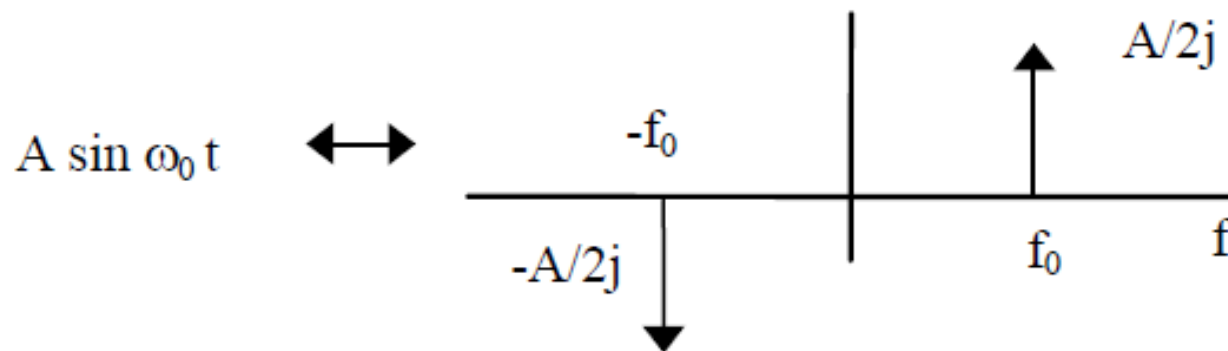
$$X(f) = \mathfrak{F}[A.\sin\omega_0 t] = \mathfrak{F}\left[A.\frac{e^{j\omega_0 t} - e^{-j\omega_0 t}}{2j}\right]$$

- aplicando-se as 2 propriedades anteriores, obtém-se:

$$X(f) = \frac{A}{2j}[\delta(f - f_0) - \delta(f + f_0)]$$

# Transformada de *Fourier* de seno

- O diagrama espectral está desenhado em baixo:



- Como o espectro é imaginário puro não é necessário desenhar o espectro na forma de amplitude e fase

# Bibliografia

- Oppenheim, A.V. , Willsky, A.S. and Young, I.T., Signals and Systems, Prentice- Hall Signal Processing Series, 1983

